

### П.3. ГИДРОДИНАМИЧЕСКИЕ И ОБЪЕМНЫЕ ВЗАИМОДЕЙСТВИЯ И ВНУТРЕННЕЕ ТРЕНИЕ В ПОЛИМЕРНОЙ ЦЕПИ

#### П.3.1. Гидродинамические и объемные эффекты и времена релаксации в отдельной цепочке

Для анализа времен релаксации полимерной цепи с гидродинамическим взаимодействием и при наличии объемных эффектов удобно использовать уравнения движения для проекций ГСЦ [см. уравнения (I.14), (I.15) и (I.20)]. В этих уравнениях гидродинамические взаимодействия включены в тензор подвижности  $H$ , а объемные эффекты учитываются при помощи эффективного потенциала  $U_{эф}$ .

В качестве первого приближения для оценок зависимости времен релаксации от пространственного масштаба движения (от волнового числа  $k$ ) могут быть использованы нормальные координаты (или собственные векторы) для динамической модели бесконечно длинной (или циклической) цепи [см. уравнение (II.4)]:

$$u_j \sim (1/\sqrt{N}) \sum_k \exp(ijk) q(k) \exp[-\lambda(k)t] \quad (II.17)$$

Задача о численном определении точных значений собственных векторов и собственных значений матрицы  $HA$  для динамических моделей цепи с гидродинамическим взаимодействием, в которых учитывалась конечность цепи и менялся параметр гидродинамического взаимодействия, решалась в работах [61, 85, 88, 89]. Результаты этих расчетов нашли применение в теориях динамической вязкости [90] и внутримолекулярных столкновений [85]. Однако для качественного и наглядного суждения о влиянии объемных и гидродинамических взаимодействий на времена релаксации можно использовать более простое приближение (II.17).

Подставляя (II.17) в уравнения (I.15), находим времена релаксации  $\tau(k)$  в форме

$$\tau(k)^{-1} \equiv \dot{\lambda}(k) = 2\lambda_H(k) \lambda_{U_{эф}}(k) (1 - \cos k) \zeta^{-1}$$

где  $\lambda_H$  и  $\lambda_{U_{эф}}$  — собственные значения тензора подвижности  $H$  и матрицы эффективного потенциала  $U_{эф}$  (см. разд. I.3).

В приближении (II.17) выражение для  $\lambda_H$  представляется как

$$\lambda_H(k) \approx \left( 1 + \frac{\zeta}{N} \sum_{j=1}^N \sum_{p=1}^N T_{|j-p|} \cos |j-p|k \right)$$

где  $T_{|j-p|}$  — компоненты предусредненного тензора Озеена.

Для самых мелкомасштабных (в рамках данной динамической модели) движений  $k \rightarrow \pi$  имеем:

$$\lambda_H(k) \approx \left[ 1 + \zeta \sum_{|j-p|=1}^N T_{|j-p|} (-1)^{j-p} \right] \quad (II.18)$$

Второе слагаемое в (II.18) отрицательно и, следовательно, подвижность данной мелкомасштабной нормальной моды при „включении“ гидродинамических взаимодействий падает. В [91] показано, что начальное время релаксации  $\tau_H$  для локальных движений выделенного элемента цепи [см. разд. (II.1.3)], соответственно, растет при увеличении параметра гидродинамического взаимодействия  $h = h^*s$  (см. разд. I.3):  $\tau_H^{-1} = 1/\tau_H(h=0) (1 - \sqrt{2h})$ .

Для крупномасштабных движений ( $k \ll \pi$ ) при наличии гидродинамических и объемных взаимодействий

$$\lambda_H(k) \sim 1 + \text{const} \frac{\zeta}{\eta l} \int_0^N \frac{ds}{s^\nu} \cos sk \quad (II.19)$$

в силу зависимости  $T_{jp} = \sqrt{2h^*} / [(r_{jp}^2)/l]$  компонент предусредненного тензора  $T_{jp}$  от  $\langle r_{jp}^2 \rangle$ .

Асимптотическое „длинноволновое“ ( $k \rightarrow 0$ ) поведение для  $\lambda(k)$  сразу получается из (II.19) при  $N \rightarrow \infty$ . Вводя безразмерную переменную  $y = sk$ , после интегрирования (II.19) получаем

$$\lambda_H(k) \approx 1 + \frac{\zeta}{\eta l} \frac{\text{const}}{k^{1-\nu}} \approx \frac{\zeta}{\eta l} \frac{C}{k^{1-\nu}}$$

Для самой крупномасштабной внутрицепной моды со временем  $\tau_{\max}$ , т. е. пульсации проекций вектора  $\vec{h}$ , имеем  $k_{\min} \sim \pi/N$ . Тогда для длинной цепи ( $\text{const}/k^{1-\nu} > 1$ ) получаем фактор  $\lambda_H(k_{\min})$ :

$$\lambda_H(k_{\min}) \sim \frac{\zeta}{\eta l} N^{1-\nu} \sim \frac{N}{\langle h_N^2/l^2 \rangle^{1/2}}$$

Для второго фактора  $\lambda_{U_{эф}}$  в  $\tau(k)^{-1}$  по аналогии с (II.11) или (II.14) находим

$$\lambda_{U_{эф}}(k) = k_B T / [M^2(k)/N]_{N \rightarrow \infty} \quad (II.20)$$

$$\vec{M}(k) \sim \sum_j \exp(ijk) \vec{e}_j \sim V \vec{N} \vec{q}(k) \quad (II.21)$$

$q(k)$  —  $N$ -мерный вектор  $k$ -й нормальной координаты ( $\vec{q} = q_x \vec{e}_x + q_y \vec{e}_y + q_z \vec{e}_z$ ).

Если решать задачу, используя в качестве динамических переменных координаты ЦВС ( $x_j$ ), а не самих ГСЦ ( $u_j$ ), то в теории появятся сходные с (II.20) и (II.21) линейные комбинации, но не от  $u_j$ , а от  $x_j$  [92]. В разд. I.3 уже обсуждалась взаимосвязь матриц  $V_{j,p} = \langle u_j u_p \rangle$  и  $U_{эф}$ . В силу (I.16), (II.20) и (II.21) также просто связаны и их собственные значения для данного  $k$  [в приближении (II.17)]:

$$\lambda_{U_{эф}}(k) = k_B T \lambda_V^{-1}(k)$$

При наличии объемных эффектов [3, 21, 61]  $\langle r^2(s) \rangle \sim s^{2\nu}$ ; с использованием (I.11), находим (полагая  $|j-p|=s$ ):

$$2 \langle u(0) u(s) \rangle \sim 2\nu(2\nu - 1) s^{2(1-\nu)} \quad (II.22)$$

Простые оценки (II.20) при учете (II.22) приводят к зависимостям:  $\langle M^2(k)/N \rangle \sim 1/k^{2\nu-1}$  и  $\lambda_{U_{эф}}(k) \sim k^{2\nu-1}$ .

Объединяя результаты учета гидродинамических [в  $\lambda_H(k)$ ] и объемных [в  $\lambda_{U_{эф}}(k)$ ] эффектов и вклад фактора  $(1 - \cos k) \sim k^2/2$  для гидродинамически непроницаемых длинных клубков получаем:  $\tau(k)^{-1} \sim \tau_0^{-1} k^{3\nu}$ .

Для непротекаемой ГСЦ (при  $N \gg 1$ ) без объемных эффектов  $\nu = 1/2$  получаем известное соотношение [59]:  $\tau(k)^{-1} \sim \tau_0^{-1} k^{3/2}$ .

Наконец, для максимального времени релаксации ( $k \sim \pi/N$ ) в рассматриваемом приближении имеет для гидродинамически непроницаемой ГСЦ:  $\tau_{max} \sim \tau_0 N^{3\nu}$  или  $\tau_{max} \sim \eta \langle h^2 \rangle^{3\nu}$ .

Полученные результаты для дисперсионной зависимости  $\tau(k)$  могут быть легко поняты и проиллюстрированы на динамической вязкоупругой гантельной модели (рис. II.5). Сопоставим каждой нормальной моде вязкоупругую гантель, размеры которой имеют порядок области периодичности данной нормальной моды [т. е.  $\Lambda(k) \sim \pi(k)$ ].

Наличие гидродинамических взаимодействий (при больших  $N$  и малых  $k$ ) эквивалентно эффективному увлечению растворителя, т. е. непротекаемости в масштабе  $\Lambda(k)$ . Тогда каждое  $\tau(k)$  можно рассматривать как характерное время гантели из шаров с гидродинамическим радиусом, пропорциональным:  $R_T(k) \sim \sqrt{\langle h^2(NN) \rangle} \sim l N^\nu(k) \sim l \Lambda^\nu$  и со

статистической квазиупругой силой с коэффициентом упругости:  $K(k) \sim [k_B T / \langle h^2(k) \rangle] \sim [k_B T / l^2 N^{2\nu}(k)] \sim [k_B T / l^{2\nu} \Lambda^\nu]$ .

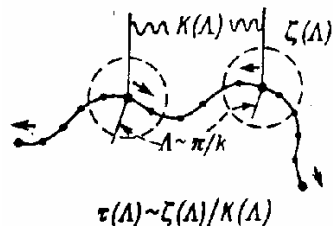


Рис. II.5. Эффективные коэффициенты трения  $\zeta(\Lambda)$  и упругости  $K(\Lambda)$  для нормальной моды протяженностью в  $\Lambda = \pi/k$  элементов цепи.

Коэффициент трения каждого „шара” гантели, соответствующего данной нормальной моде, согласно соотношению Стокса, равен  $\zeta(k) \sim 6\pi\eta R_T(k)$ , а время релаксации составляет

$$\tau(k) \sim [\zeta(k)/K(k)] \sim \eta \langle h^2(k) \rangle^{3/2} \sim \eta k^{-3/2} \sim \eta R_T^3(k)$$

Эквивалентные скейлинговые рассуждения основаны на том, что для однопараметрической модели характерное время для движения, имеющего пространственный масштаб  $\Lambda(k)$ , не зависит от длины всей цепи (если  $N > \Lambda$ ) и может зависеть от единственных характерных параметров  $\langle h^2(\Lambda) \rangle$  и  $D(\Lambda)$  как:

$$\tau \sim \frac{\langle h^2(\Lambda) \rangle}{D(\Lambda)} \sim \frac{\langle h^2 \rangle}{k_B T} \zeta(\Lambda) \sim \zeta_0 \frac{\Lambda^3}{k_B T} \sim \zeta_0 \frac{1}{k^3 k_B T}$$

Указанные простые соотношения уже не могут быть непосредственно применены к случаю, когда появляются другие внутрицепные взаимодействия, например, внутреннее трение и соответствующие их характерные пространственные, диссипативные и другие параметры.